

В. П. Чабай, В. И. Усик¹

ГРОТ ШАЙТАН-КОБА: СТРАТИГРАФИЯ ЛИТОЛОГИЧЕСКИХ И КУЛЬТУРНЫХ ОТЛОЖЕНИЙ²

V. P. Chabai, V. I. Usik. Shaitan-Koba rock-shelter: the lithological and archaeological sequences.

Shaitan-Koba rock-shelter is one of the most important Crimean Middle Paleolithic sites, which was excavated by G.A. Bonch-Osmolowsky in 1929. This paper is devoted to the analyses of museum collection of artifacts (Peter the Great Museum of Anthropology & Ethnography, St. Petersburg) and field documents from archive (Institute of the History of Material Culture, St. Petersburg) of Shaitan-Koba rock-shelter. Instead of commonly adopted two-layer subdivision of both lithological and cultural stratigraphy, the nine lithological layers and nine archaeological complexes have been proposed. The lithological layers 1-3 and 6-9 were found in primary context, as well as archaeological complexes A₁, A₂, A₃, D, E, F and G originate from in situ deposits. Lithological layers 4, 5 and archaeological complexes B, C associate with redeposited sediments. The in situ archaeological complexes contain 7180 flint artifacts; the redeposited archaeological complexes are represented by 2045 artifacts. The preliminary attribute analysis of artifacts shows some differences between archaeological complexes D, E from one hand, and F, G from another. These differences might be explained by the implication of different models of raw material exploitation.

Значение материалов стоянки в гроте Шайтан-Коба для исследований среднего палеолита Крыма и Восточной Европы трудно переоценить.

¹ Институт археологии НАНУ, г. Киев, Украина.

² Представленные результаты исследований были достигнуты в рамках выполнения международного научного проекта Deutsche Forschungsgemeinschaft «The dispersal of Modern Humans into an Eastern European refugial area of Late Neanderthals: interdisciplinary studies of contemporaneous industries from the Middle to Upper Palaeolithic transition in the Crimea (Ukraine)». Авторы выражают искреннюю признательность сотрудникам Музея антропологии и этнографии им. Петра Великого РАН Г.А. Хлопачеву и Л.Н. Гиге, сотрудникам Научного архива Института истории материальной культуры РАН Н.А. Беловой и Т.П. Ивановой, а также ученому секретарю ИИМК РАН С.А. Кулакову за помощь в организации процесса изучения коллекций и архивных материалов.

С 1930-х годов кремневая индустрия Шайтан-Кобы активно используется в разнообразных культурно-стадиальных, культурно-стилистических, миграционистских построениях и реконструкциях хозяйства среднепалеолитических обитателей предгорий Крыма (Бонч-Осмоловский, 1930, 1934; Формозов, 1958; Анисюткин, 1964; Черныш, 1965, 1982, 1987; Колосов, 1972; Смирнов, 1973; Гладиллин, 1976; Праслов, 1984; Колосов и др., 1993; Колосов, Степанчук, 1998; Степанчук, 2006; Степанчук та ін., 2004; Чабай, 2004а, 2004б; Chabai et al., 2004; Chabai, Uthmeier 2006; Demidenko 2011). Вместе с тем стратиграфическое положение кремневых комплексов, а следовательно, и их гомогенность остались не проанализированными.

Грот Шайтан-Коба образовался в юго-западном борту известняковой куэсты Внутренней (Второй) гряды Крымских гор. Куэста расположена между реками Бодрак и Альма. Грот Шайтан-Коба приуро-

чен к правому берегу р. Бодрак. В непосредственной близости известны палеолитические стоянки Шайтан-Коба II–IV, Бодрак, Скалистое, грот Скалистый, ГАБО, средневековые памятники — Скалистинский могильник и пещерный город Бакла. Стоянка в гроте Шайтан-Коба была открыта С.Н. Бибиковым и С.А. Трусовой в 1928 г. в ходе широкомасштабных археологических разведок, которые проводились под руководством Г.А. Бонч-Осмоловского. Полевые исследования в гроте состоялись в июне — июле 1929 г.

Грот Шайтан-Коба расположен на высоте 21 м над тальвегом р. Бодрак. Ширина грота составляет 7,5 м, глубина 4,5 м, максимальная высота свода над полом 2,2 м. Вход грота открыт на юго-запад. К началу раскопок максимальная толщина четвертичных отложений в гроте едва достигала 30 см (рис. 1, А, В). Значительная часть отложений грота была уничтожена в средневековое время хозяйственной деятельностью обитателей пещерного города Бакла. К такому выводу пришел Г.А. Бонч-

Осмоловский, изучив отложения на стенке грота (известковый натек), которые сохранились на высоте до 90 см над четвертичными седиментами, оставшимися на полу грота (Бонч-Осмоловский, 1930, с. 67). Следовательно, до средневековой зачистки толщина четвертичных отложений в гроте Шайтан-Коба составляла около 120 см и потолок грота возвышался над покрытым седиментами полом не более чем на 100 см. Общая площадь раскопа составляет 61 м² и представлена двумя смежными участками: «пещера» и «склон» (рис. 1, D). Раскопки производились горизонтами, толщина которых не превышала 10 см и которые соответствовали литологическим отложениям. Горизонты получили названия I, 1, 1-1, 1-2, II, 2, 2-1, 2-2. Все отложения просеивались через сито «грохот» с целью обнаружения мелких фрагментов кремня и фауны (Бонч-Осмоловский, 1929а; 1929б; 1930). Упоминаний о размере ячейки сита в полевой документации не обнаружено. Исходя из параметров чешуек размер ячейки сита составлял около 5 мм.

СТРАТИГРАФИЯ:

ВЕРСИИ Г.А. БОНЧ-ОСМОЛОВСКОГО (1930) И Ю.Г. КОЛОСОВА (1972)

В 1930 г. Г.А. Бонч-Осмоловский предложил предварительную версию стратиграфии отложений Шайтан-Кобы (рис. 1, А, В). Известковый натек на стенке грота подразделяется на три уровня залегания — H_1 , H_2 и H_3 , а отложения «пещеры» — на два литологических слоя:

1. Современный зольный слой;
2. Щебневатый четвертичный слой, желтого, местами буро-зеленого, оттенка.

На «склоне» были выделены:

1. Пересохиший гумус;
2. Серый, сильно щебневатый слой (Бонч-Осмоловский, 1930, с. 66).

С точки зрения специфики аккумуляции указанных отложений Г.А. Бонч-Осмоловский предположил наличие трех различных культурно-стратиграфических явлений:

- 1 — верхний натек,
- 2 — ненарушенный слой навеса, к которому можно присоединить нижний отдел натека и, с известным сомнением, нижний слой склона,

3 — верхний слой на склоне со смешанной вследствие расчистки, индустрией (Бонч-Осмоловский, 1930, с. 67).

Спустя некоторое время, была предложена двухслойная интерпретация стратиграфии Шайтан-Кобы. Верхний натек был отнесен к остаткам верхнего слоя, который почти полностью уничтожен в более поздний период. К нижнему слою отнесены сохранившиеся в неприкосновенности напластования внутри навеса (Бонч-Осмоловский, 1934, с. 144). Несмотря на предложенные подразделения, в последующих исследованиях материалы Шайтан-Кобы обычно упоминались как единый комплекс (Формозов, 1958; Анисюткин, 1964; Черныш, 1965).

Материалы раскопок Г.А. Бонч-Осмоловского в гроте Шайтан-Коба и на склоне под ним наиболее полно введены в научный оборот в монографическом исследовании Ю.Г. Колосова. Одной из основных целей работы Ю.Г. Колосова являлось типолого-технологическое обоснование дву-

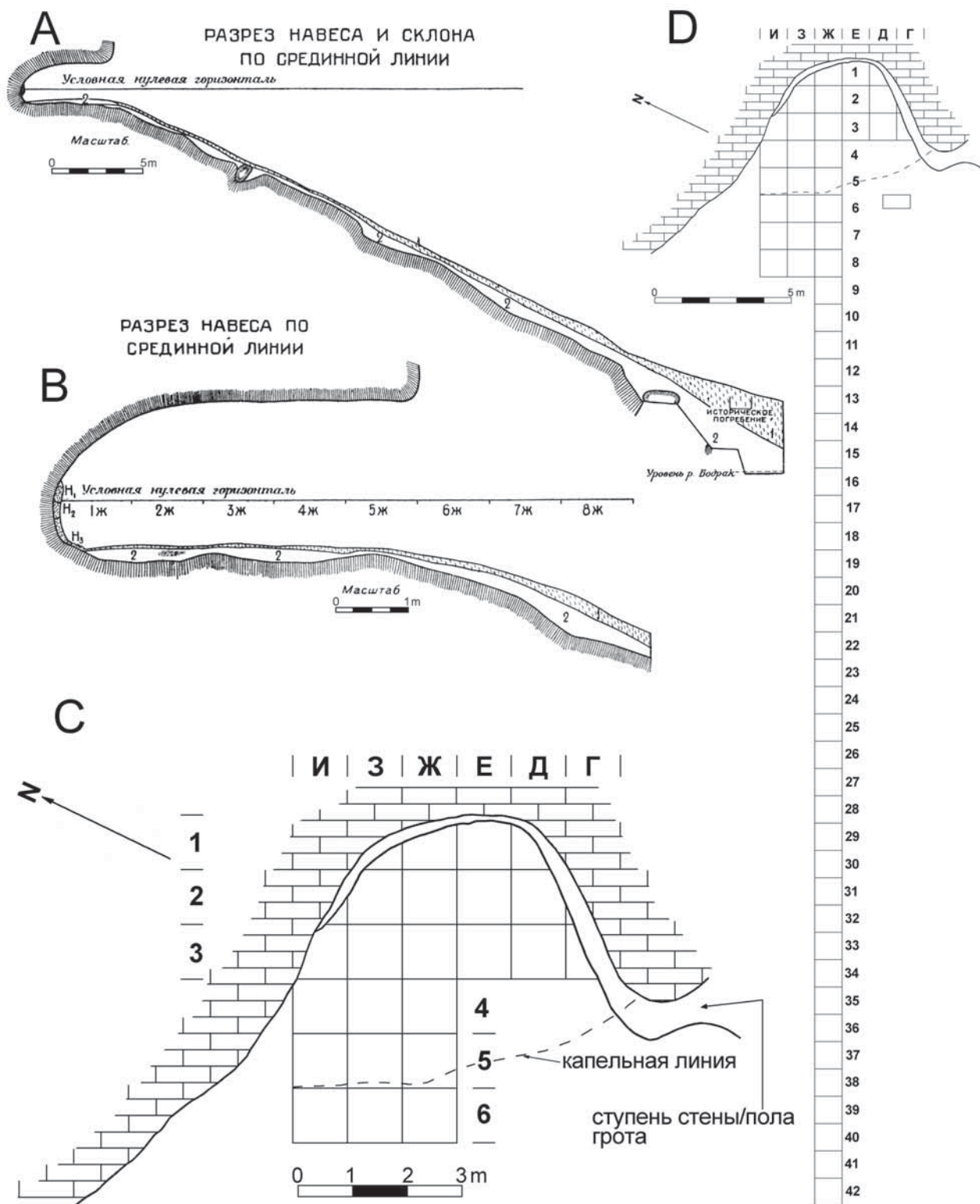


Рис. 1. Шайтан-Коба: А, В — стратиграфические разрезы по линии квадратов «ж»; С, D — планы раскопа. Разрезы А, В — по Г.А. Бонч-Осмоловскому (1930, рис. 5); план С — перерисован по Ю.Г. Колосову (1972, рис. 8); план D — скомпонован и перерисован по Г.А. Бонч-Осмоловскому (1929б, л. 8 и 9)

горизонтности Шайтан-Кобы (Колосов, 1972, с. 104–109). Безусловно, такая постановка задачи была значительным шагом вперед по сравнению со ставшим на то время уже традиционным восприятием материалов стоянки как типологически и технологически единой коллекции. Ю.Г. Колосов подразделил материалы грота на два горизонта: I — верхний и II — нижний. К верхнему горизонту были отнесены артефакты с шифрами 1/1, 1/2, 2/1, к нижнему — с шифром 2/2 (Колосов, 1972, с. 20, 153). Здесь необходимо отметить, что шифры на артефактах коллекций № 5395 и 5446 МАЭ РАН, а также на полевых чертежах и в дневнике о раскопках Шайтан-Кобы в научном архиве ИИМК выглядят следующим образом: 1-1, 1-2, 2-1 и 2-2 (Бонч-Осмоловский, 1929а; 1929б). Коллекция из раскопок траншеи на склоне была определена как неомогенное в технико-типологическом плане явление (Колосов, 1972, с. 107–108) и проанализирована отдельно от комплексов I и II горизонтов.

Ю.Г. Колосов вслед за предварительной публикацией Г.А. Бонч-Осмоловского (1930), предложил следующее описание стратиграфии (рис. 1, А, В)

СТРАТИГРАФИЯ ЛИТОЛОГИЧЕСКИХ ОТЛОЖЕНИЙ: ИНТЕРПРЕТАЦИЯ ПОЛЕВОЙ ДОКУМЕНТАЦИИ Г.А. БОНЧ-ОСМОЛОВСКОГО

Изучение полевой документации и артефактов Шайтан-Кобы позволило восстановить первоначальную версию стратиграфии литологических и культурных отложений в гроте, которая, как выяснилось, значительно отличается от упрощенной версии, опубликованной в прошлом веке (Бонч-Осмоловский, 1930; Колосов, 1972).

В 1929 г. Г.А. Бонч-Осмоловский (1929б, л. 1–4) подразделил площадь раскопа Шайтан-Кобы на два участка: «пещера» и «склон». Участок «пещера» составлен линиями квадратов 1–8, участок «склон» — линиями квадратов 9–42 (рис. 1, D). К «пещере» отнесены линии квадратов, находящиеся между капельной линией и задней стенкой грота, — линии квадратов 1–5 и три линии квадратов 6, 7 и 8, расположенные за капельной линией. «Склон» был раскопан траншеей шириной 1 м по линии квадратов «ж». Площадь раскопа на участке

литологических отложений в гроте Шайтан-Коба и на склоне под ним:

- 1) гумус / современный пепельный слой;
- 2) четвертичный слой — щебнистый, желтого и местами буро-зеленого цвета (Колосов, 1972, с. 17).

Известняковый натек на стенке грота подразделялся на верхний (H_1), средний (H_2) и нижний (H_3). В верхнем и нижнем натеках найдены артефакты, средний стерилен. О возможных вариантах соотношений археологических горизонтов (1-1, 1-2, 2-1, 2-2) и литологических слоев (гумус / пепельный и четвертичный) в монографии Ю.Г. Колосова как-либо упоминания отсутствуют. Отдельной проблемой в анализе материалов Шайтан-Кобы является определение площади грота. Ю.Г. Колосов использует план грота, предложенный Г.А. Бонч-Осмоловским, согласно которому капельная линия проходит почти по линии, разделяющей квадраты 5и/6и, 5з/6з, 5ж/6ж, а далее — по нераскопанным квадратам 5е, 5д и 4г. Ю.Г. Колосов отнес к внутри-гrotовым отложениям седименты, аккумуляировавшиеся на 1–6 линиях квадратов, оставив данный план без комментариев (рис. 1, С).

«склон» составляет 34 м², на участке «пещера» — 27 м². В 1930 г. площадь «пещеры» уменьшилась на 14 м²: *Осторожность, однако, заставляет меня при анализе индустрии исходить из несомненного комплекса 2 слоя внутренней части навеса (№№ участков до 6 включительно)* (Бонч-Осмоловский, 1930, с. 69). Почему «осторожность» распространилась на 6-ю линию квадратов, осталось необъясненным, ведь эта линия, как, впрочем, и 7, 8 линии, расположена за капельной линией.

Перед началом раскопок вся площадь «пещеры» и частично «склона» была разбита на метровые квадраты и пронивелирована (рис. 2). Согласно установленной метровой сетке квадратов были сняты нивелировочные отметки свода грота, отмечена на плане капельная линия, т.е. проведена граница между пространством внутри грота и площадкой перед гротом. Установлено, что поверх-

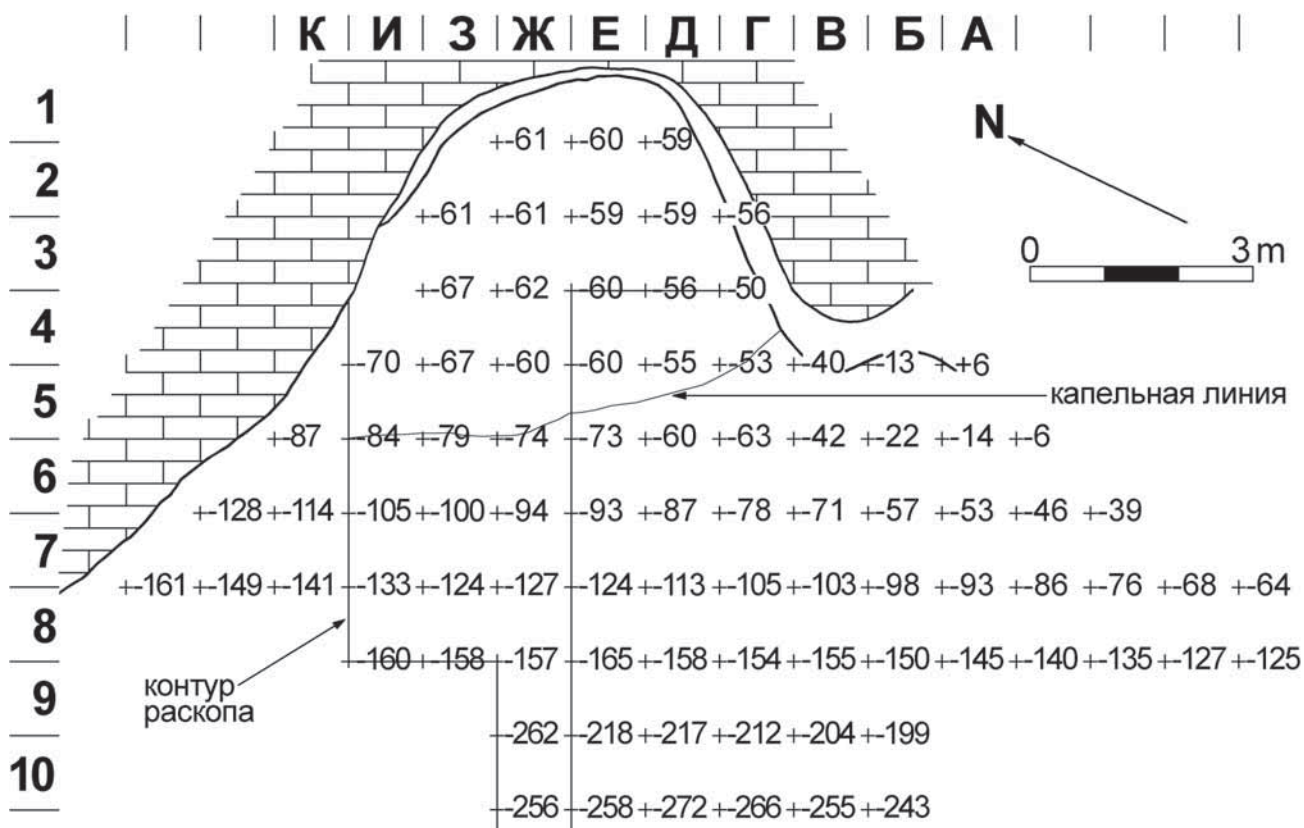


Рис. 2. Шайтан-Коба: план поверхности отложений грота с нивелировочными отметками; перерисован по Г.А. Бонч-Осмоловскому (1929б, л. 7)

ность сохранившихся отложений внутренней части грота (линии квадратов 1–5) практически горизонтальная, наблюдается легкое падение по направлению юго-восток — северо-запад, которое составляет около 2° . Начиная с границы между 5-й и 6-й линиями квадратов углы падения поверхности отложений определены в двух направлениях: юго-восток — северо-запад (до 6°) и северо-восток — юго-запад (около 20°). В полевом дневнике имеется запись от 24/VI-1929: *На крутом склоне поверхность усеяна кремнями. Дневная поверхность навеса, чуть присыпанная пылью, также усеяна кремнями. По-видимому, навес был вычищен в эпоху пещерных городов (1 1/2 в. Бакла), но не до скалистого дна: осталась тонкая прослойка коренных отложений* (Бонч-Осмоловский, 1929а, л. 1).

Раскопки «пещеры» были осуществлены за 12 дней, с 25 июня по 6 июля 1929 г.: 25 июня поставлен шурф пробная ямка на кв. 3ж, 25–26 июня

исследованы кв. 1–8ж, 1е, 1–3з, 3–4и, 27–28 июня раскопаны кв. 4–5з, 30 июня — кв. 5и, 6з, 1–2 июля изучены кв. 6и, 7и, 7з, 3–5 июня работы в «пещере» завершены на кв. 2е, 3е, 2д, 3д (Бонч-Осмоловский, 1929а, л. 1–8). Практически для каждого квадрата на миллиметровой бумаге составлялись два или три стратиграфических разреза (Бонч-Осмоловский, 1929б, л. 6–9, 12–15, 20–26, 34–50). Описания отложений данных разрезов заносились в полевой дневник и на поля чертежей. Планы распространения находок отсутствуют. В «пещере» были раскопаны следующие отложения: брекчия верхняя (б-1 и б-2), брекчия нижняя (б-3), гумус черный, песок буро-желтый, песок желтый, плотный с примесью глины, песок желто-зеленый, известняковая плита, песок светлый серо-желтый / буро-желтый со щебнем, скальное дно, сложенное вертикальными плитками известняка (Бонч-Осмоловский 1929а; 1929б). Брекчия обнаружена на стене и на

полу грота в пристенных участках. Гумус распространяется практически по всей раскопанной площади. Песок буро-желтый / желтый плотный с примесью глины представляет собой единое стратиграфическое явление и распространяется на линиях квадратов 1, 2 и 3. Песок желто-зеленый выявлен на линиях квадратов 1 и 2. Известняковая плита обнаружена на квадратах 4ж, 4з, 4и, 5ж, 5з, 5и, 6ж, 6з, 6и. Песок светлый серо-желтый / буро-желтый со щебнем составляет одно стратиграфическое явление и распространяется практически по всей раскопанной площади за исключением линий квадратов 1 и 2.

Благодаря наличию многочисленных полевых чертежей, а также записям на них и в полевом дневнике (Бонч-Осмоловский 1929а; 1929б) удалось восстановить следующую последовательность и характеристики литологических отложений в гроте Шайтан-Коба (рис. 3–7).

1-й литологический слой: «брекчия верхняя», б-1 — известковый натек, H_1 ; рыхлые седименты, включающие кремнь, фрагменты обожженных и необожженных костей; обнаружена на стене грота на квадратах 1е, 1д, 1ж, 2и, 3и, 4и (рис. 3). На стене грота (кв. 1е, 1д, 1ж) отложения б-1 представле-

ны аморфным пятном седиментов, «прилипших» к практически вертикальной стенке грота; нижняя граница б-1 соответствует нивелировочным отметкам +13/+18 см, верхняя граница достигает отметки +54 см; максимальная ширина пятна б-1 составляет 245 см, максимальная толщина — 20 см. На стене грота (кв. 2и, 3и, 4и) отложения б-1 представлены трапециевидной формы пятном седиментов, «прилипших» к вертикальной стенке грота, переходящей в пол грота (рис. 6); нижняя граница б-1 соответствует нивелировочной отметке –25 см, верхняя граница достигает отметки +29 см; максимальная ширина пятна б-1 составляет 120 см, максимальная толщина — 8 см. На квадратах 1е, 1д, 1ж верхнюю брекчию подстилают отложения средней брекчии; на квадратах 2и, 3и, 4и верхняя брекчия залегает на ступени стены/дна грота (рис. 3, 6). Для обозначения верхней брекчии на чертежах использовались шифры б₁ и б-1 на артефактах — б-1, в публикациях — известковый натек, H_1 .

2-й литологический слой: «брекчия средняя», б-2 — известковый натек, H_2 ; рыхлые седименты, практически не содержащие кремня и фаунистических остатков; обнаружена на стене грота на квадратах 1е, 1д, 1ж; залегает непосредственно

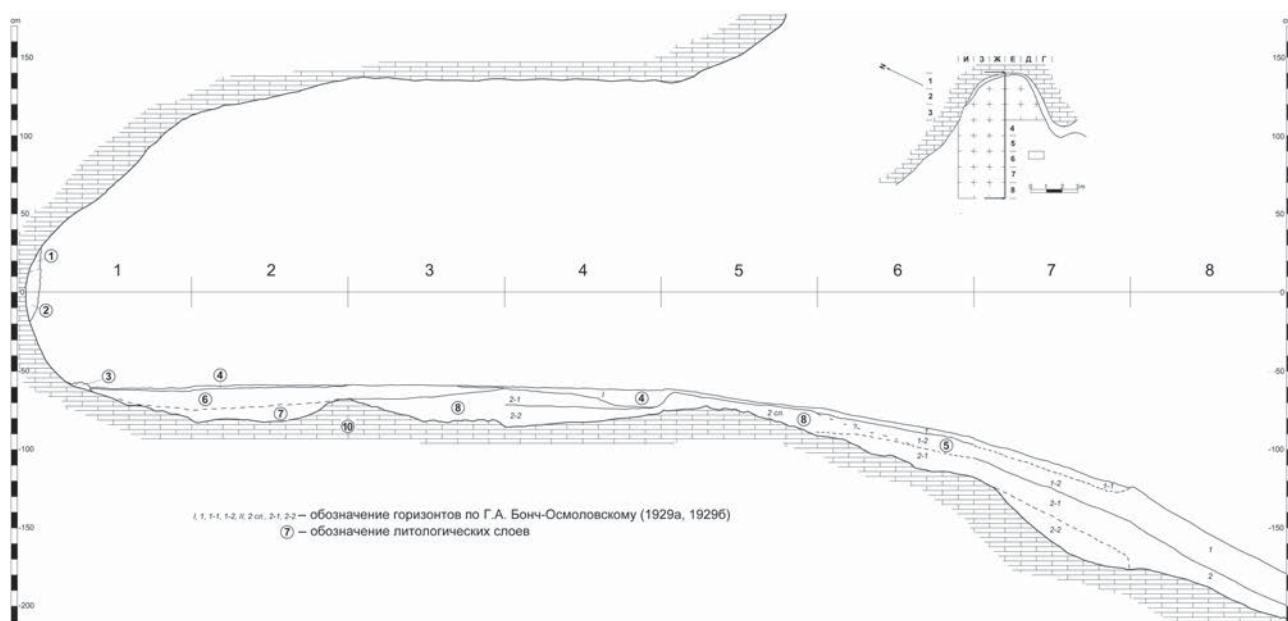


Рис. 3. Шайтан-Коба: стратиграфический разрез по линии квадратов «е/ж»; скомпонован и перерисован по Г.А. Бонч-Осмоловскому (1929б, л. 6, 20–26, 34)

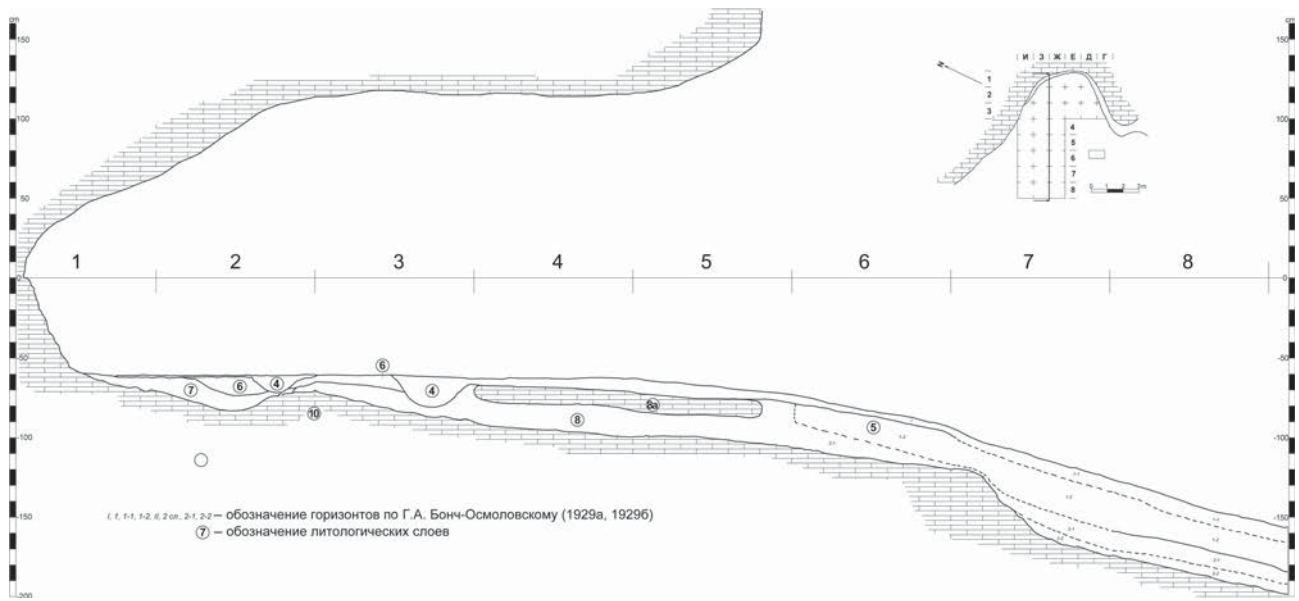


Рис. 4. Шайтан-Коба: стратиграфический разрез по линии квадратов «ж/з»; скомпонован и перерисован в зеркальном отражении по Г.А. Бонч-Осмоловскому (1929б, л. 6, 20–26, 34)

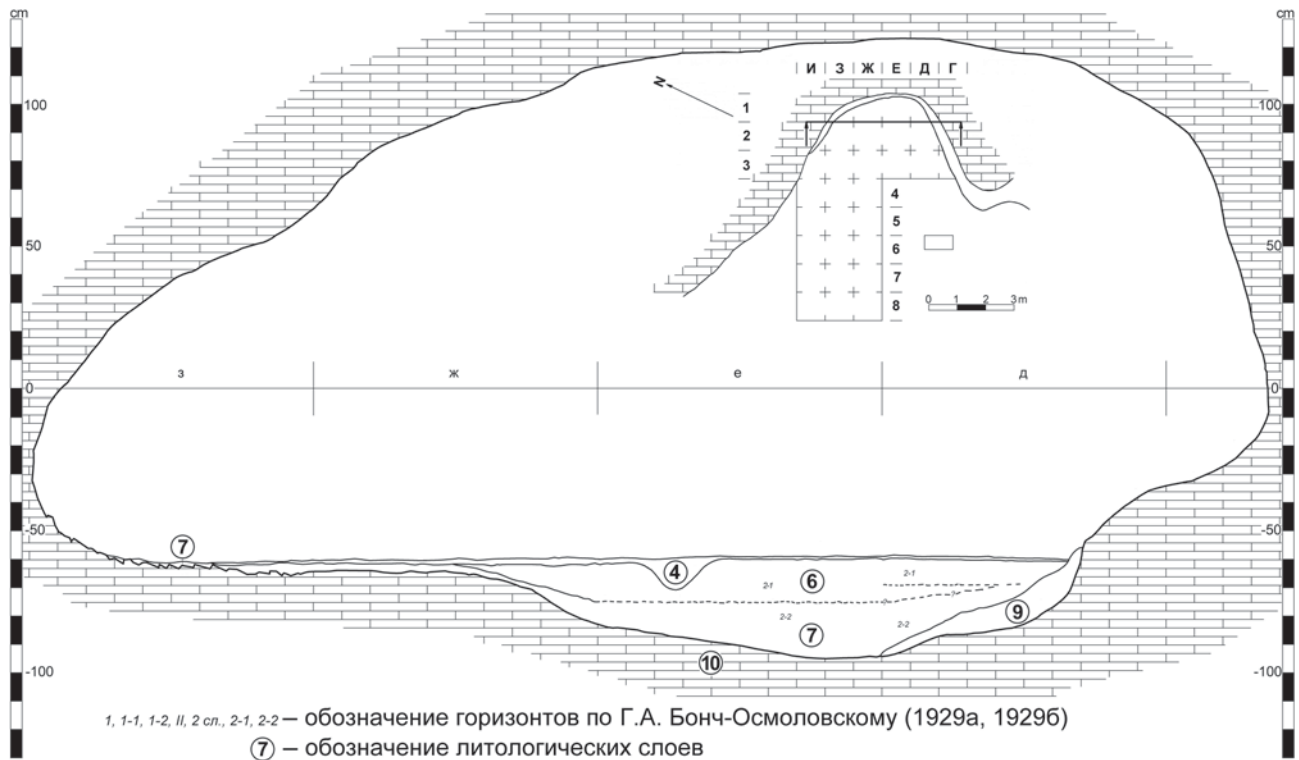


Рис. 5. Шайтан-Коба: стратиграфический разрез по линии квадратов «1/2»; скомпонован и перерисован по Г.А. Бонч-Осмоловскому (1929б, л. 6, 14, 15, 20, 37)

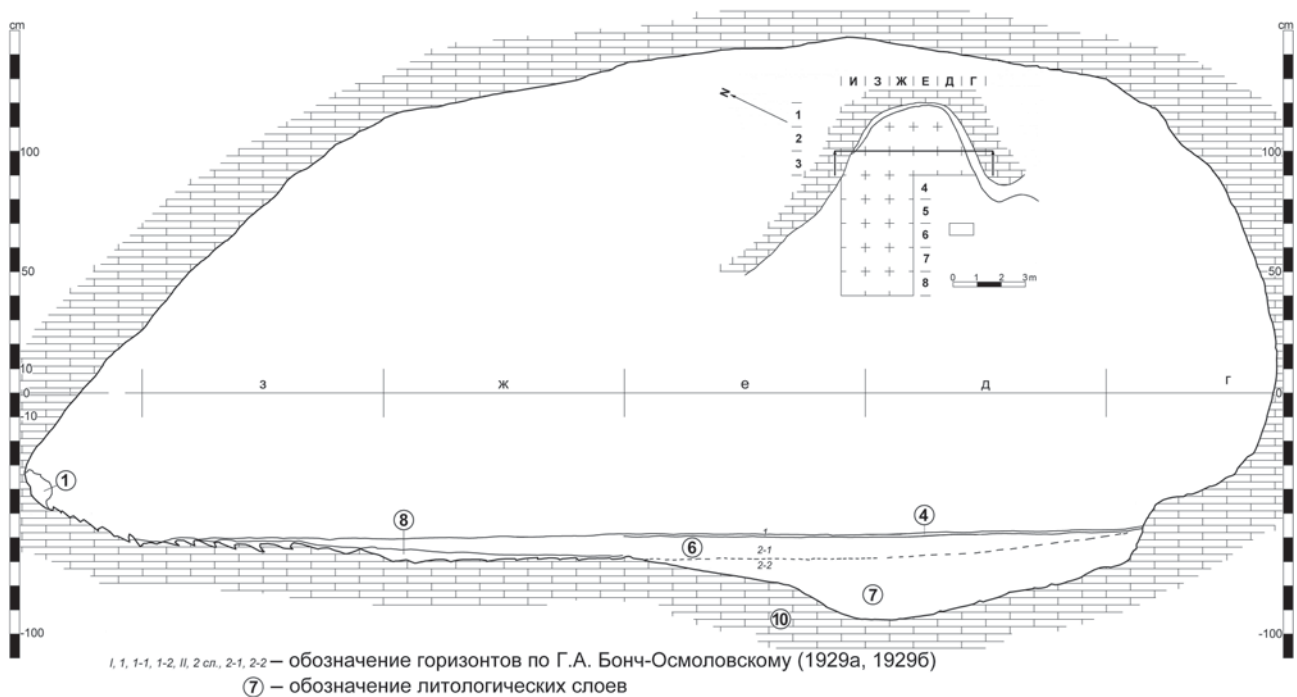


Рис. 6. Шайтан-Коба: стратиграфический разрез по линии квадратов «2/3»; скомпонован и перерисован по Г.А. Бонч-Осмоловскому (1929б, л. 6, 13, 35, 37, 38, 39)

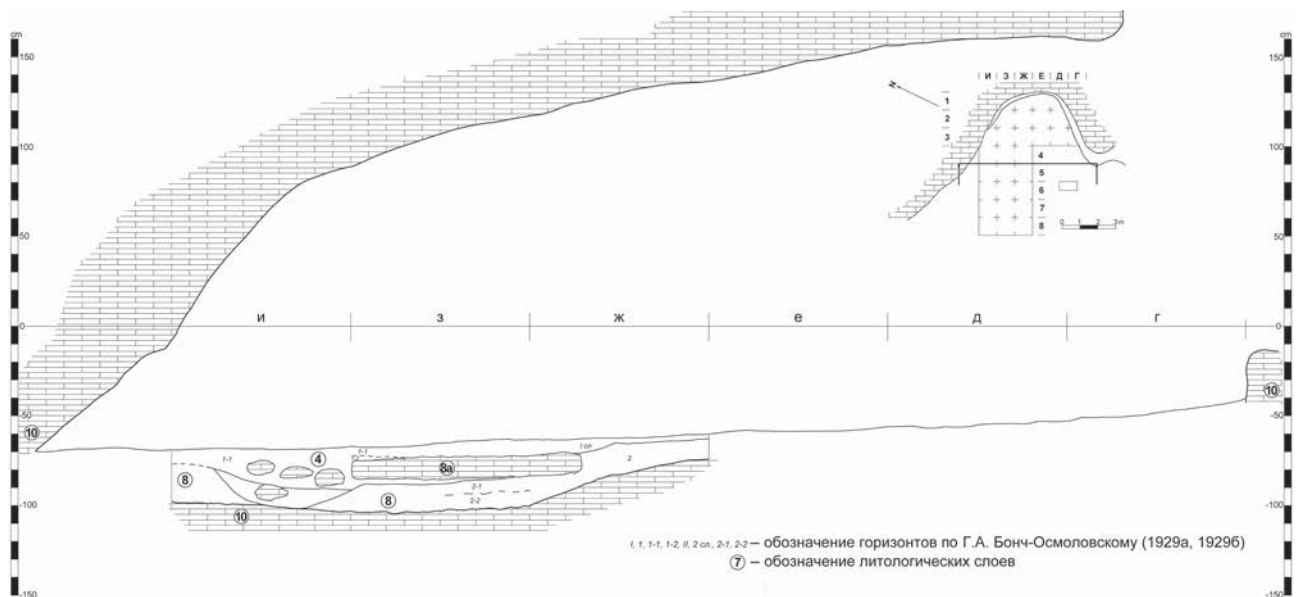


Рис. 7. Шайтан-Коба: стратиграфический разрез по линии квадратов «4/5»; скомпонован и перерисован в зеркальном отображении по Г.А. Бонч-Осмоловскому (1929б, л. 6, 22, 42, 43)

под верхней брекчией; контакт четкий, с легким падением в юго-восточном направлении (рис. 3). На стене грота отложения б-2 представлены аморфным пятном седиментов, «прилипших» к практически вертикальной стенке грота; нижняя граница б-2 соответствует нивелировочным отметкам -4/-30 см, верхняя граница +18/+20 см; максимальная ширина пятна б-2 составляет 235 см, максимальная толщина — 15 см. Под средней брекчией рыхлые отложения не обнаружены. Для обозначения средней брекчии на чертежах использовались шифры б₂ и б-2 на артефактах — б-2, в публикациях — известковый натек, Н₂.

3-й литологический слой: «брекчия нижняя», б-3 — известковый натек, Н₃; рыхлые седименты, содержащие кремневые артефакты и фаунистические остатки; обнаружена на стене грота на квадратах 1е, 1д, 1ж (рис. 3). Нижняя брекчия обнаружена на слабо выраженной ступени стены/дна грота в непосредственном, практически вертикальном контакте со слоями гумуса (4) и желто-бурых седиментов. Нижняя брекчия залегает полосой длиной до 150 см, шириной до 15 см, толщиной до 5 см, нивелировочные отметки: верх -57 см, низ -62 см. Для обозначения нижней брекчии на чертежах использовались шифры б₃ и б-3, на артефактах — б-3, в публикациях — известковый натек, Н₃.

4-й литологический слой: «гумус черный», пылеватый, насыщенный современным древесным углем, пеплом, обожженной плейстоценовой и современной фауной, кремневыми артефактами (рис. 3–7). Гумус обнаружен практически на всей площади раскопа, исключение составляют кв. 3ж и 3з. Нивелировка поверхности гумуса представлена на рисунке 2. На линиях квадратов 1, 2 и 3 толщина данного литологического слоя составляет до 3 см, на линиях квадратов 4, 5, 6, 7, 8 происходит утолщение гумуса до 10 см. Нижняя граница гумуса волнистая, присутствуют многочисленные углубления — «ямки» естественного и антропогенного происхождения (рис. 3–5, 7). Для обозначения данного литологического слоя на чертежах и артефактах использовались шифры I, 1, и 1-1 (Бонч-Осмоловский, 1929а; 1929б).

5-й литологический слой: «гумус нижний», серо-желтый, серый рыхлый седимент, насыщен-

ный кремневыми артефактами и фрагментами костей, в том числе *современных* (Бонч-Осмоловский, 1929а, л. 2). Данный слой обнаружен на линиях квадратов 6, 7, 8 (рис. 3, 4). Верхняя и нижняя границы нижнего гумуса нечеткие, на квадратах бж и бз нижняя граница ступенчатая; на квадрате 8ж данный литологический слой не перекрыт «верхним гумусом»; угол падения нижнего гумуса соответствует углам падения поверхности склона и материковой скалы. Толщина нижнего гумуса составляет от 10–14 см на линиях квадратов 6, 7 до 23–25 см на линии квадратов 8. Некоторые находки из углублений искусственного происхождения, впущенных из литологического слоя 4 «гумус черный», на квадратах 4з и 5и (рис. 4, 7), были отнесены к горизонту 1–2 (Бонч-Осмоловский, 1929б, л. 3). Данный литологический слой на чертежах и артефактах обозначен шифром 1-2 (Бонч-Осмоловский, 1929а; 1929б).

6-й литологический слой: «песок буро-желтый, желтый, плотный с примесью глины», насыщенный кремневыми и фаунистическими находками, в том числе обожженными; обнаружен на линиях квадратов 1, 2 и 3 (рис. 3–6). Залегает непосредственно под черным гумусом — литологическим слоем 4; на квадратах 2ж, 2з, 3ж, 3з выходит на поверхность (рис. 3, 4, 6). Верхняя граница четкая, практически горизонтальная; на квадратах 2ж, 2з, 3ж, 3з обнаружены нарушения (ямки), вероятно, антропогенного / животного происхождения (рис. 4, 5). Нижняя граница волнообразная: на квадратах 2ж, 2з, 3ж, 3з — четкая, на квадратах 2д, 2е, 3е, 3д — нечеткая. Толщина данного литологического слоя варьирует от нескольких сантиметров на квадратах 2з, 3з до 13–15 см на квадратах 2ж, 3ж, 2е, 3е (рис. 3–6). Г.А. Бонч-Осмоловский на чертежах и артефактах обозначил данный литологический слой шифрами 2 и 2-1 (Бонч-Осмоловский, 1929а; 1929б).

7-й литологический слой: «песок желто-зеленый», насыщенный кремневыми артефактами и фрагментами фаунистических находок, обнаружен на линиях квадратов 1 и 2 (рис. 3–6). «Песок желто-зеленый» на квадратах 1д, 1е, 2д, 2е, 2ж, 2з, и частично 1ж, 1з залегает непосредственно под отложениями 6 литологического слоя. Возле пристенного

участка на квадратах 1ж и 1з над данным литологическим слоем какие-либо отложения не обнаружены (рис. 4, 5). Верхняя граница 7 литологического слоя волнообразная и не всегда четкая; нижней границей является пол грота, который на квадратах 1е, 1д, 2д, 2е образует существенное понижение (рис. 3–6). Толщина отложений «желто-зеленого песка» колеблется от 1–4 см на квадратах 1ж и 1з до 20 см на квадрате 2е. Отложения и находки данного слоя обозначались Г.А. Бонч-Осмоловским как горизонт 2-2 (Бонч-Осмоловский, 1929а; 1929б).

8-й литологический слой: «песок светлый серо-желтый / буро-желтый со щебнем», насыщенный кремнем и костью, в том числе обожженными, обнаружен на квадратах линий 3, 4, 5, 6 и квадратах 7з и 7и. Нижняя часть 8 литологического слоя более щебнистая, чем верхняя. «Серо-желтый / буро-желтый песок» на квадрате 3ж залегает под отложениями литологического слоя 6 (рис. 3, 4, 6), на квадратах 2ж и 2з — под седиментами литологического слоя 7 (рис. 4), в северо-западной части квадрата 3ж и на квадратах линий 4 и 5 — под отложениями литологического слоя 4 (рис. 3, 4, 7), на квадратах 6ж, 7з, 7и — под отложениями литологического слоя 5 (рис. 3, 4). Верхняя граница 8 литологического слоя волнообразная с многочисленными нарушениями естественного и антропогенного происхождения, нижняя граница соответствует конфигурации скального пола грота. Толщина отложений серо-желтого / буро-желтого песка варьирует на разных участках от 5 см (кв. 4ж) до 28 см (кв. 5з). Г.А. Бонч-Осмоловским литологические и культурные отложения 8 литологического слоя были обозначены следующим образом: горизонт 2 (квадраты 6г и 6д), горизонт 2-1 (линии квадратов 4, 5, 6 и квадраты 6г, 6д, 7з, 7и) и горизонт 2-2 (квадраты 3д, 3е, 3з, 3и) (Бонч-Осмоловский, 1929а; 1929б).

8а литологический слой: плита известняковая; практически полностью покрывает квадраты 5з, 5и, 4з и частично квадраты 4ж, 5ж, 6з, 6и; на квадрате 4и плита разрушена поздней ямой; площадь плиты около 4 м²; толщина 12–13 см; форма аморфная; залегание практически горизонтальное (рис. 4, 7). Плита представляет собой результат обвала крайней части свода грота. Обвал произошел во время формирования 8 литологического слоя.

В полевом дневнике от 27.VI.1929 сделана запись: *На уч. 4з над плитой тонкая прослойка желтого слоя* (Бонч-Осмоловский, 1929а, л. 2).

9-й литологический слой: брекчия на скальном полу грота; обнаружена на двух участках — восточном, квадраты 1д, 2д (рис. 5) и западном, квадраты 5з, 5и, 6з, 6и. «Западная» брекчия залегает на скальном дне грота непосредственно под литологическим слоем 8. «Восточная» брекчия на ступенчатом полу / стене грота на квадратах 1д, 2д залегает под отложениями литологических слоев 6 и 7 (рис. 5). Толщина «западной» брекчии едва достигает 3 см. Толщина «восточной» брекчии варьирует от 2 до 10 см. Информация о прочих метрических характеристиках брекчии и о наличии находок в ней отсутствует.

10, скальное дно: волнообразное во внутреннем пространстве грота и ступенчатое на площадке перед гротом. Скальное дно во внутреннем пространстве грота (до капельной линии) представлено двумя разделенными барьером углублениями. Первое углубление расположено в пристенном участке в восточной части грота на квадратах 1д, 1е, 1ж, 1з, 2д, 2е, 2ж, 2з; максимальная глубина составляет 20 см (рис. 3–6). Данное углубление практически полностью заполнено отложениями 7 литологического слоя — «песок желто-зеленый», также в юго-восточной части углубления обнаружена брекчия — 9 литологический слой. Второе углубление исследовано на квадратах 3ж, 4ж и частично 5ж (рис. 3). Данное углубление, скорее всего, распространяется в южном направлении на нераскопанный участок квадратов 4д и 4е. Максимальная глубина второго углубления составляет 18 см; заполнение — отложения 8 литологического слоя. В восточной части грота наблюдается ступенчатый характер перехода от дна к стене грота, в северной части грота данная ступень не столь выражена (рис. 3, 4). В целом в поперечных разрезах полость грота имеет форму неправильного овала, сужающегося к линии квадратов «и» (рис. 5–7). В северной и северо-восточной части грота наблюдается эффект десквамации дна грота в пристенных участках (рис. 5, 6).

В юго-западной части площадки перед гротом прослежены три ступени скального дна: на квадратах 5ж, на границе квадратов 6ж и 7ж, на квадрате

8ж (рис. 3). В северо-западной части площадки ступени постепенно исчезают, и угол падения скального дна уменьшается. Угол падения скального дна на площадке по линии квадратов е/ж составляет 20°, по линии ж/з — 18°, по линии з/и — 17°, по линии и/к — 11°.

Одной из основных проблем, связанных с характером залегания отложений, является определение границ площадки перед гротом. Решение данной проблемы исходя из полноты полевой документации возможно лишь частичное. Описание стратиграфической ситуации и разрезы стенок квадратов 8з и 8и отсутствуют. Поэтому использование материалов с этих квадратов представляется проблематичным. Основываясь на имеющихся стратиграфических разрезах квадратов, расположенных за капельной линией, и характеристиках углов падения скального дна, представляется возможным проведение границы между отложениями площадки перед гротом и склоном по квадратам 5ж, 6ж, 7ж и 7з (рис. 8). Соответственно, за данной границей начинаются отложения склона, которые аккумулировались на наклонной поверхности скального дна и первичное положение которых вызывает сомнения.

Вторичное положение седиментов и содержащихся в них материалов характерно для «гумусных» отложений 4 и 5 литологических слоев. Поверхность литологического слоя 4 образовалась в результате средневековой зачистки грота. Основной причинной аккумуляции «черного гумуса» являются многочисленные костры и экскременты животных. Во время хозяйственного использования грота в Средневековье было изготовлено несколько углублений — ям, одной из которых была частично разрушена известняковая плита — литологический слой 8а. Характеризуя яму на квадрате 4и, Г.А. Бонч-Осмоловский указывает, что в ней *встречается татарская керамика и стекло* (Бонч-Осмоловский, 1929б,

л. 43). Проникновение гумусных отложений под плиту отражает форму углубления на квадрате 4и — яма с подбоем, которая, впрочем, может оказаться норой животного в продольном разрезе (рис. 7). Также не исключено, что ряд ям является промоинами, происхождение которых связано с расположением капельной линии.

В первичном положении внутри грота и на площадке перед ним обнаружены отложения следующих литологических слоев: 1, 2, 3, 6, 7, 8, 8а, 9. Отложения данных литологических слоев в той или иной мере были разрушены хозяйственной деятельностью в Средневековье. Практически полностью уничтожены отложения литологических слоев 1, 2 и 3. В значительной степени разрушены отложения 6, 7 и 8 литологических слоев. Частичному разрушению подверглась даже известняковая плита — литологический слой 8а на квадрате 4и. Скорее всего, кремневые артефакты и фаунистические остатки, обнаруженные в «гумусных» литологических слоях 4 и 5, происходят из разрушенных участков 1, 2, 3, 6, 7 и 8 литологических слоев.

Проблематичным выглядит выделение брекчии на полу грота — литологический слой 9 — в отдельное стратиграфическое явление. Как известно процесс образования брекчий происходит в гротах после аккумуляции пачки отложений и отражает особый физико-химический режим на отдельных участках известняковых гротов и пещер. То есть не исключено, что брекчия, выделенная как литологический слой 9, является отложениями 6 и 7 литологических слоев. Также не исключено, что «нижняя брекчия» третьего литологического слоя на пристенных квадратах 1д, 1е, 1ж может быть сцементированным участком отложений шестого литологического слоя. На такое возможное соотношение отложений известкового натека Н₃ и *нижнего культурного слоя* указывал и Г.А. Бонч-Осмоловский (Бонч-Осмоловский, 1934, с. 144).

СТРАТИГРАФИЯ КУЛЬТУРНЫХ ОТЛОЖЕНИЙ: ИНТЕРПРЕТАЦИЯ ПОЛЕВОЙ ДОКУМЕНТАЦИИ И КРЕМНЕВОЙ КОЛЛЕКЦИИ Г.А. БОНЧ-ОСМОЛОВСКОГО

Г.А. Бонч-Осмоловским археологический материал, добытый на площади грота и на площадке перед ним, фиксировался следующими шифрами:

б-1, б-2, б-3, слои 1, 2, горизонты 1-1, 1-2, 2-1, 2-2 (Бонч-Осмоловский 1929а; 1929б). Затем в полевой описи материалов было произведено объединение

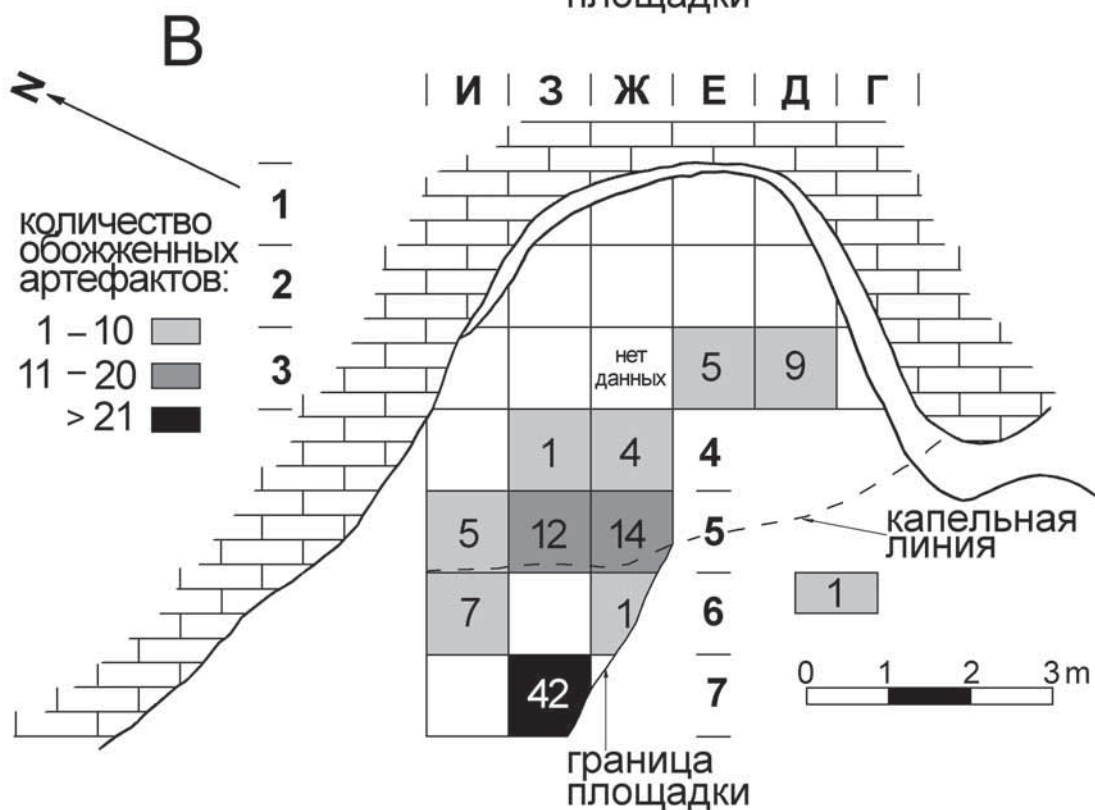
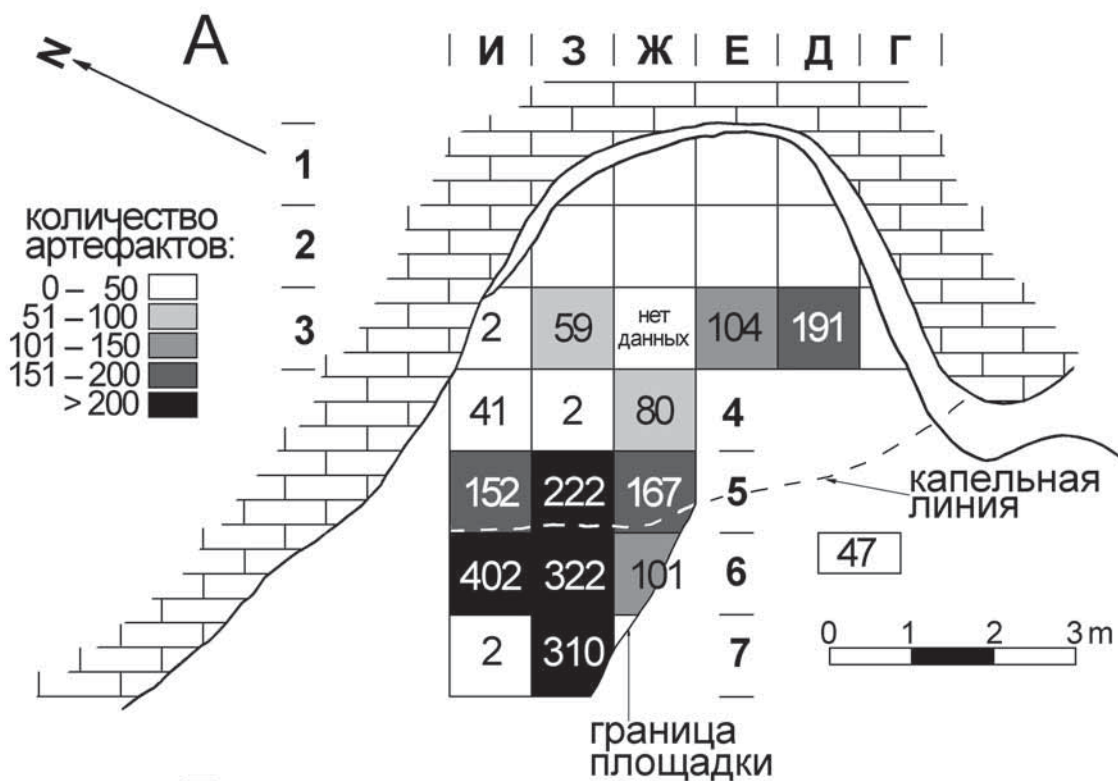


Рис. 8. Шайтан-Коба, археологический комплекс F: А — распределение артефактов по площади раскопа; В — распределение обожженных артефактов по площади раскопа

горизонтов в слою. К слою 1 (пещера) были отнесены материалы с шифрами 1, 1-1 и 1-2; к слою 2 (пещера) — материалы с шифрами 2, 2-1 и 2-2 (Бонч-Осмоловский, 1929б, л. 1, 3, 4). Находки с шифрами 1 и 1-1 происходят из «черного гумуса» — литологический слой 4. Артефакты с шифром 1-2 происходят из «нижнего, серого гумуса» — литологический слой 5. Объединение этих материалов в слой 1, вероятно, было обусловлено их аккумуляцией в голоценовых отложениях, т.е. залеганием во вторичном положении.

Более проблематичным выглядит объединение материалов во 2-й культурный слой, поскольку их происхождение связано с тремя различными в литологическом отношении явлениями: литологические слои 6, 7 и 8. Вместе с тем проблема разделения археологических материалов, относящихся к различным литологическим слоям, может быть решена благодаря тому, что, за исключением квадрата 3ж, отложения литологических слоев 6, 7, с одной стороны, и литологического 8, с другой стороны, практически не перекрываются. При этом археологические материалы с квадрата 3ж — «пробная ямка» в коллекции не обнаружены. Таким образом, представляется возможным предложить следующее соотношение археологических и литологических отложений:

археологический комплекс А₁ — литологический слой 1, верхняя брекчия, б-1;

археологический комплекс А₂ — литологический слой 2, средняя брекчия, б-2;

археологический комплекс А₃ — литологический слой 3, нижняя брекчия, б-3;

археологический комплекс В — литологический слой 4, горизонты 1 и 1-1;

археологический комплекс С — литологический слой 5, горизонт 1-2;

археологический комплекс D — литологический слой 6, горизонты 2 и 2-1;

археологический комплекс E — литологический слой 7, горизонт 2-2;

археологический комплекс F — литологический слой 8, горизонты 2, 2-1, а также 2-2 на линии квадратов 3;

археологический комплекс G — литологический слой 8, горизонты 2-2.

Исходя из полевой описи Г.А. Бонч-Осмоловским на территории грота и площадки перед ним было обнаружено 8798 артефактов (Бонч-Осмоловский, 1929б, л. 1–4). В настоящее время в коллекциях № 5395 хранится 9225 кремневых изделий, происходящих из грота и площадки перед ним. В коллекции № 5446 артефакты из грота и площадки не обнаружены. Расхождение между указанными подсчетами обусловлено в основном тем, что в нынешние подсчеты включены 183 артефакта из разнообразных брекчий и квадратов бг, бд, которые не были учтены Г.А. Бонч-Осмоловским, а также некритическим несовпадением количества артефактов в целом ряде горизонтов и квадратов, которое вполне объяснимо «полевым» характером подсчетов.

Наименее представительны комплексы артефактов А₁, А₂ и А₃, происходящие из отложений брекчий (табл. 1). В комплексе А₁ обнаружено 114 артефактов, которые распределены по следующим

Таблица 1. Шайтан-Коба, комплексы А₁, А₂, А₃: соотношение категорий артефактов

	А ₁	А ₂	А ₃	ВСЕГО:	%	%, esse
Нуклевидные	5	–	–	5	3,68	7,46
Орудия, односторонние	4	–	1	5	3,68	7,46
Пластины	6	–	–	6	4,41	8,96
Отщепы	47	1	2	50	36,76	74,63
Сколы, неопределимые	1	–	–	1	0,74	1,49
Чешуйки	44	2	15	61	44,85	–
Обломки	7	–	1	8	5,88	–
ВСЕГО:	114	3	19	136	100,00	100,00

квадратам: 1е — 50 экз., 2е — 1 экз., 2и — 17 экз., 3е — 2 экз., 3и — 44 экз. Также на квадрате 1е обнаружены артефакты, относящиеся к горизонтам А₂ и А₃, соответственно 3 и 19 экземпляров. В комплексах А₁, А₂, А₃ обнаружены только среднепалеолитические артефакты.

Артефакты комплекса В происходят из «черного гумуса» литологического слоя 4 и распростра-

нены по всей площади грота и площадки перед ним. Между нынешним состоянием коллекций и полевыми подсчетами Бонч-Осмоловского отмечается достаточно высокая степень совпадения количества артефактов как по квадратам, так и в целом по горизонтам (табл. 2). Относительно повышенная концентрация артефактов наблюдается в квадратах 2е, 4ж, 5ж, 6з и 6и. Учитывая особен-

Таблица 2. Шайтан-Коба, комплекс В: распределение артефактов по площади раскопа

	Г.А.Бонч-Осмоловский, 1929б		Коллекция № 5395	
	1	1-1	1	1-1
1е	4	—	4	—
1ж	5	—	6	—
2д	15	—	15	—
2е	117	—	109	—
2ж	22	—	21	—
2з	8	—	8	—
3д	45	—	48	—
3е	61	—	63	—
3з	26	—	26	—
3и	10	—	9	—
4-5ж	245	—	246	—
4е	—	—	—	1
4з	43	—	47	—
4и	45	—	53	—
4и, яма	46	—	51	—
5з	80	—	88	—
5и	87	—	85	—
5и, яма	23	—	23	—
6е	—	—	1	—
6гд	67	—	57	—
6ж	15	—	—	14
6з	185	—	179	—
6и	116	—	117	—
7е	—	—	—	1
7ж	58	—	66	—
7з	—	94	—	95
7и	—	64	—	64
ВСЕГО:	1481		1497	

ности аккумуляции данных артефактов в отложениях литологического слоя 4, данные скопления вряд ли отражают какую-либо планиграфическую специфику стоянки. Происхождение единичных артефактов с нераскопанных квадратов 6е и 7е, скорее всего, связано с зачисткой стенки раскопа по линии квадратов е/ж. К данному комплексу отнесены также артефакты, обнаруженные в многочисленных ямах, впущенных из «черного гумуса» в нижележащие отложения. Впрочем, материалы только одной из них были зашифрованы как отдельное стратиграфическое явление — яма на квадратах 4и и 5и (табл. 2).

Структура коллекции артефактов комплекса В близка таковой для стоянок-мастерских среднего палеолита Крыма (табл. 3), характерными чертами

которых являются относительно невысокое процентное содержание орудий в сочетании со средним/высоким процентом нуклевидных (Chabai, Uthmeier 2006). Также необходимо отметить наличие двусторонних орудий, которые были обнаружены на 6 и 7 линиях квадратов.

Артефакты комплекса С происходят из «нижнего гумуса» литологического слоя 5. Можно констатировать практически полное совпадение полевых подсчетов Г.А. Бонч-Осмоловского и нынешнего количества артефактов в коллекциях (табл. 4).

На линиях квадратов 4, 5 и 6 обнаружено незначительное количество артефактов. Основная концентрация находок выявлена на 7-й линии квадратов. Не исключено, что артефакты с квадратов 4з и 5и происходят из «подбоев» / разрушения

Таблица 3. Шайтан-Коба, комплекс В: соотношение категорий артефактов

	#	%	%, <i>esse</i>
Нуклевидные	9	0,60	2,59
Орудия, односторонние	35	2,34	10,06
Орудия, двусторонние	5	0,33	1,44
Пластины	48	3,21	13,79
Отщепы	246	16,43	70,69
Сколы, неопределимые	5	0,33	1,44
Чешуйки	1080	72,14	–
Обломки	69	4,61	–
ВСЕГО:	1497	100,00	100,00

Таблица 4. Шайтан-Коба, комплекс С: распределение артефактов по площади раскопа

квадраты	Г.А.Бонч-Осмоловский, 19296	Коллекция № 5395
	горизонт 1-2	горизонт 1-2
4ж	–	1
4з	29	29
5и	42	40
6ж	–	1
6и	–	1
7ж	111	113
7з	149	153
7и	201	210
ВСЕГО:	532	548

стенок — ямы на квадрате 4и. Как и в случае с комплексом В, распределение артефактов комплекса С по раскопанному участку грота не отражает специфики планиграфической структуры стоянки.

Соотношение основных категорий артефактов, в частности высокое процентное значение для орудий и низкое для нуклеусов (табл. 5) соответствует модели «импортеры» эксплуатации сырьевых ресурсов в среднем палеолите Крыма (Chabai, Uthmeier 2006). Стоит отметить наличие двусторонних орудий.

Артефакты комплекса D происходят из желтых плотных отложений 6 литологического слоя, которые сохранились лишь внутри грота на линиях квадра-

тов 1, 2 и частично 3. На оставшейся площади грота отложения 6 литологического слоя были уничтожены в результате средневековой зачистки. Также не исключено, что на квадратах линий 1, 2, 3 верхняя часть отложений данного литологического слоя также была разрушена. Таким образом, распределение находок по квадратам вряд ли может указывать на какие-либо особенности планиграфии стоянки. С другой стороны, необходимо отметить очень высокую плотность находок на относительно хорошо сохранившихся квадратах 2д, 2е, 3д, 3е. Подсчеты количества артефактов Г.А. Бонч-Осмоловским (1929б) и нынешних коллекций не совпадают более чем на две сотни артефактов (табл. 6). Наиболее существенны-

Таблица 5. Шайтан-Коба, комплекс С: соотношение категорий артефактов

	#	%	%, esse
Нуклевидные	1	0,18	0,93
Орудия, односторонние	21	3,83	19,63
Орудия, двусторонние	2	0,36	1,87
Пластины	15	2,74	14,02
Отщепы	67	12,23	62,62
Сколы, неопределимые	1	0,18	0,93
Чешуйки	419	76,46	—
Обломки	22	4,01	—
ВСЕГО:	548	100,00	100,00

Таблица 6. Шайтан-Коба, комплекс D: распределение артефактов по площади раскопа

квадраты	Г.А.Бонч-Осмоловский, 1929б		Коллекция № 5395	
	Горизонт 2	Горизонт 2-1	Горизонт 2	Горизонт 2-1
1ж	26	—	29	—
2г	—	—	1	—
2д	—	391	3	433
2е	—	521	—	630
2ж	64	—	64	2
2з	—	9	—	10
3д	—	423	—	457
3е	—	234	—	242
3з	—	53	—	59
ВСЕГО:	1721		1930	

ми являются различия в количестве артефактов на квадратах 2д и 2е.

На квадратах 2е и 2д обнаружены остатки очага, диаметр которого на границе указанных квадратов составлял 51 см (Бонч-Осмоловский, 1929б, л. 15). В полевой документации отсутствует описание данного очага, неизвестны его точные параметры, характер заполнения и наличие/отсутствие обожженных седиментов под заполнением. Также нет упоминания о принадлежности данного очага к горизонту 2-1, хотя исходя из глубин залегания очага можно предположить, что он относится к нижней части горизонта 2-1. Подтверждение наличия очага на квадратах 2д и 2е в горизонте 2-1 демонстрирует распределение обожженных артефактов на исследованной площади комплекса D: кв. 2д — 13 экз. (нуклеус, орудие, 10 чешуек, обломок); кв. 2е — 25 экз. (отщеп, 24 чешуйки); кв. 2ж — чешуйка; кв. 3д — 3 чешуйки; кв. 3е — 8 чешуек; кв. 3з — 4 чешуйки. На квадратах 1ж, 2г и 2з обожженные артефакты отсутствуют.

Соотношение основных категорий артефактов, в первую очередь нуклевидных и орудий, характерно для модели использования кремня «мастерская/стоянка-мастерская» (табл. 7). Следует отметить отсутствие двусторонних орудий и высокое содержание пластин.

Находки комплекса E происходят из желто-зеленых отложений литологического слоя 7. Различия между количеством артефактов в полевой описи Г.А. Бонч-Осмоловского (Бонч-Осмоловский, 1929б, л. 1) и в нынешних коллекциях выглядят несущественными (табл. 8).

Наибольшее количество артефактов обнаружено в наименее пострадавших от средневековой зачистки квадратах. К сожалению, в полевой документации прямых указаний на столь высокую насыщенность желто-зеленых отложений на квадратах 2д и 2е не найдено. Поэтому нельзя полностью исключить того, что артефакты, отнесенные к комплексу E, могут принадлежать нижней части комплекса D, т.е. происходить из низов литологического слоя 6.

Таблица 7. Шайтан-Коба, комплекс D: соотношение категорий артефактов

	#	%	%, esse
Нуклевидные	29	1,50	6,49
Орудия, односторонние	26	1,35	5,82
Пластины	95	4,92	21,25
Отщепы	294	15,23	65,77
Сколы, неопределимые	3	0,16	0,67
Чешуйки	1435	74,35	—
Обломки	48	2,49	—
ВСЕГО:	1930	100,00	100,00

Таблица 8. Шайтан-Коба, комплекс E: распределение артефактов по площади раскопа

Квадраты	Г.А.Бонч-Осмоловский, 1929б	Коллекция № 5395
	Горизонт 2-2	Горизонт 2-2
2д	401	443
2е	616	620
2ж	9	10
2з	—	1
ВСЕГО:	1026	1074

Обожженные артефакты распределяются следующим образом: кв. 2д — 6 экз. (пластина, 2 чешуйки, обломок); кв. 2е — 10 экз. (орудие и 9 чешуек); кв. 2ж — 2 чешуйки. В целом повторяется модель распространения обожженных артефактов в комплексе D, что может являться косвенным подтверждением стратиграфического контакта между комплексами D и E.

Практически идентичные процентные выражения орудий и нуклеидных в коллекции комплекса E указывают на использование модели эксплуатации сырья «мастерская/стоянка-мастерская» (табл. 9). Специфическими чертами данного комплекса являются невысокое содержание пластин и наличие двустороннего орудия.

Комплекс артефактов F обнаружен в «желто-серых» отложениях 8 литологического слоя. Не исключено, что верхняя часть отложений данного литологического слоя была уничтожена средневековой зачисткой. Количество артефактов более чем на сотню изделий отличается в пользу полевых подсчетов Г.А. Бонч-Осмоловского (Бонч-Осмоловский, 1929б, л. 1). Наиболее проблемным является квадрат 4з, который в нынешней коллекции представлен единичными изделиями, тогда как в полевой описи Г.А. Бонч-Осмоловского значится 263 артефакта (табл. 10). С другой стороны, в полевой описи отсутствует подсчет находок из шурфа на квадратах 6г и 6д.

В целом скопления находок прослеживаются на квадратах 3д, 3е, с одной стороны, и на квадратах

линий 5, 6 и 7и, с другой (рис. 8, А). То есть можно предположить наличие восточной (3д, 3е) и западной (линии 5, 6, 7) концентраций находок. Более 40 % обожженных артефактов, обнаруженных в верхней части 8 литологического слоя, приходится на квадрат 7з западного скопления (табл. 11; рис. 8, В). Более четверти обожженных находок данного слоя обнаружено на квадратах 5ж, 5з и 5и того же скопления. Однако, учитывая факт явно неравномерного уничтожения верхней части отложений литологического слоя 8, к описанным концентрациям следует относиться с осторожностью. В полевой документации упоминания о наличии очагов или скоплений обожженного материала на данных участках отсутствуют.

Соотношение нуклеусов и орудий в коллекции артефактов комплекса F характерно для использования модели «стоянка-мастерская», содержание пластин невысокое, двусторонние орудия отсутствуют (табл. 12).

Комплекс G происходит из нижней части литологического слоя 8. На некоторых квадратах было зафиксировано залегание находок на скальном дне грота. Вместе с тем нельзя выразить полную уверенность в том, что на всех квадратах данный комплекс был отделен от вышележащего скольнибудь значимым объемом стерильных отложений.

Различие между количеством находок в полевой описи и нынешних коллекциях составляет почти полторы сотни артефактов в пользу последних (табл. 13). Данное несоответствие произошло в ос-

Таблица 9. Шайтан-Коба, комплекс E: соотношение категорий артефактов

	#	%	%, esse
Нуклеидные	11	1,02	5,45
Орудия, односторонние	12	1,12	5,94
Орудия, двусторонние	1	0,09	0,50
Пластины	30	2,79	14,85
Отщепы	148	13,78	73,27
Чешуйки	846	78,77	—
Обломки	26	2,42	—
ВСЕГО:	1074	100,00	100,00

Таблица 10. Шайтан-Коба, комплекс F: распределение артефактов по площади раскопа

Квадраты	Г.А.Бонч-Осмоловский, 1929б		Коллекция № 5395		
	Горизонт 2-1	Горизонт 2-2	Горизонт 2	Горизонт 2-1	Горизонт 2-2
3д	–	190	–	–	191
3е	–	86	–	–	104
3з	–	53	–	–	59
3и	–	–	–	–	2
4ж	72	–	–	80	–
4з	263	–	–	2	–
4и	42	–	–	41	–
5ж	163	–	–	167	–
5з	213	–	–	222	–
5и	150	–	–	152	–
бгд	–	–	46	1	–
бж	96	–	–	101	–
бз	312	–	–	322	–
би	405	–	–	402	–
7з	294	–	–	310	–
7и	–	–	–	2	–
ВСЕГО:	2339		2204		

Таблица 11. Шайтан-Коба, комплекс F: распределение обожженных артефактов по площади раскопа

Квадраты	Нуклеусы	Пластины	Отщепы	Чешуйки	Обломки	Всего:	%
3д	–	–	–	9	–	9	8,91
3е	–	–	–	5	–	5	4,95
4ж	–	–	–	3	1	4	3,96
4и	–	–	–	1	–	1	0,99
5ж	–	–	–	11	3	14	13,86
5з	–	–	1	11	–	12	11,88
5и	–	1	4	–	–	5	4,95
би	–	–	–	6	1	7	6,93
бж	–	–	1	–	–	1	0,99
7з	1	–	2	35	4	42	41,58
бгд	–	–	1	–	–	1	0,99
Всего:	1	1	9	81	9	101	100,00

Таблица 12. Шайтан-Коба, комплекс F: соотношение категорий артефактов

	#	%	%, esse
Нуклевидные	11	0,50	2,47
Орудия, односторонние	59	2,68	13,26
Пластины	63	2,86	14,16
Отщепы	309	14,02	69,44
Сколы, неопределимые	3	0,14	0,67
Чешуйки	1704	77,31	–
Обломки	55	2,50	–
ВСЕГО:	2204	100,00	100,00

Таблица 13. Шайтан-Коба, комплекс G: распределение артефактов по площади раскопа

Квадраты	Г.А.Бонч-Осмоловский, 1929б	Коллекция № 5395
	Горизонт 2-2	Горизонт 2-2
4ж	176	178
4з	269	273
5е	–	2
5ж	–	1
5з	416	425
5и	269	378
6ж	57	58
6з	–	1
6и	217	218
7з	155	155
7и	140	147
ВСЕГО:	1699	1836

новном из-за различий в подсчетах количества кремня на квадрате 5и. Практически полное отсутствие артефактов с квадратов 5ж и 6з необъяснимо.

Обожженные артефакты, в отличие от комплекса F, распространяются по раскопанной площади относительно равномерно, не образуя отчетливо выраженных скоплений (табл. 14).

Соотношение основных категорий артефактов комплекса G близко таковому для комплекса F и соответствует применению модели «стоянка-мастерская» (табл. 15). Стоит отметить невысокий уровень пластин и отсутствие двусторонних орудий.

ЗАКЛЮЧЕНИЕ

Изучение коллекций и полевой документации раскопок грота Шайтан-Коба позволяет предложить ряд выводов. Во-первых, стоянка в гроте Шайтан-Коба является многослойным средне-

палеолитическим памятником, значительная часть отложений которого была разрушена в Средневековье. *Инситные* отложения стоянки частично сохранились в гроте и на площадке перед гротом,

Таблица 14. Шайтан-Коба, комплекс G: распределение обожженных артефактов по площади раскопа

Квадраты	Орудия	Пластины	Отщепы	Чешуйки	Обломки	Всего:	%
4ж	–	–	1	17	2	20	13,70
4з	–	–	–	14	–	14	9,59
5з	1	–	–	16	–	17	11,64
5и	2	–	–	23	3	28	19,18
6ж	–	–	3	12	3	18	12,33
6и	2	–	5	–	1	8	5,48
7з	–	1	2	18	4	25	17,12
7и	–	2	1	13	–	16	10,96
Всего:	5	3	12	113	13	146	100,00

Таблица 15. Шайтан-Коба, комплекс G: соотношение категорий артефактов

	#	%	%, esse
Нуклевидные	4	0,22	1,20
Орудия, односторонние	42	2,29	12,65
Пластины	44	2,40	13,25
Отщепы	239	13,02	71,99
Сколы, неопределимые	3	0,16	0,90
Чешуйки	1455	79,25	–
Обломки	49	2,67	–
ВСЕГО:	1836	100,00	100,00

конфигурацию и площадь которой (см. рис. 8) удалось предположить на основании изучения полевой документации Г.А. Бонч-Осмоловского (1929а; 1929б). Раскопанная площадь *инситных* отложений в гроте и на площадке составляет 21 м². Толщина *инситных* отложений редко превышает 30 см (см. рис. 3–7).

Во-вторых, в гроте Шайтан-Коба и на площадке перед ним в первичном положении обнаружено 6 литологических слоев: 1, 2, 3, 6, 7, 8; с седиментами данных слоев ассоциируются культурные отложения археологических комплексов А1, А2, А3, D, E, F, G соответственно. Наибольшее количество артефактов происходит из комплекса F — 2204 экз., наименьшее — из комплекса А2 (3 экз.). В целом в первичном положении обнаружено 7180 артефактов. Также с площади грота

и площадки перед ним происходят переотложенные седименты литологических слоев 4 и 5, в которых были выделены археологические комплексы В (1497 артефактов) и С (548 артефактов) соответственно. Происхождение артефактов в переотложенных литологических слоях и археологических комплексах связано с антропогенным разрушением всех литологических слоев и комплексов, частично сохранившихся в первичном положении.

В-третьих, в структуре артефактов наблюдаются определенные отличия между двумя группами археологических комплексов: D/E и F/G. На первый взгляд данные отличия вызваны использованием разных моделей эксплуатации сырьевых ресурсов. Дальнейшие исследования коллекций позволят уточнить и дополнить данный вывод.

БИБЛИОГРАФИЯ

- Анисюткин Н.К.* О датировке грота Шайтан-Коба // Археологический сборник ЛГУ им. А.А. Жданова. Л., 1964. С. 8.
- Бонч-Осмоловский Г.А.* Шайтан-Коба, крымская стоянка типа Абри-Оди // Бюллетень Комиссии по изучению четвертичного периода. М., 1930. № 2. С. 61–82.
- Бонч-Осмоловский Г.А.* Итоги изучения крымского палеолита // Труды II международной ассоциации по изучению четвертичного периода Европы. М., 1934. Вып. V. С. 114–183.
- Гладилин В.Н.* Проблемы раннего палеолита Восточной Европы. Киев: Наукова думка, 1976. 229 с.
- Колосов Ю.Г.* Шайтан-Коба — мустьерська стоянка Криму. Київ: Наукова думка, 1972. 158 с.
- Колосов Ю.Г., Степанчук В.Н., Чабай В.П.* Ранний палеолит Крыма. Киев: Наукова думка, 1993. 221 с.
- Колосов Ю.Г., Степанчук В.М.* Новий тип середньопалеолітичної індустрії у східному Криму // Записки наукового товариства імені Шевченка. Праці археологічної комісії. Львів, 1998. Т. ССXXXV. С. 38–61.
- Праслов Н.Д.* Ранний палеолит Русской равнины и Крыма // Палеолит СССР. Археология СССР / Под ред. П.И. Борисковского. М.: Наука, 1984. Т. 1. С. 94–134.
- Смирнов С.В.* Палеоліт Дніпровського Надпоріжжя. Київ: Наукова думка, 1973. 172 с.
- Степанчук В.М., Ковалюх М.М., Плїхт Й. Ван дер.* Радіовуглецевий вік пізньоплейстоценових палеолітичних стоянок Криму // Кам'яна доба України. Київ: Шлях, 2004. Вип. 5. С. 34–61.
- Степанчук В.Н.* Нижний и средний палеолит Украины. Черновцы; Зелена Буковина, 2006. 463 с.
- Формозов А.А.* Пещерная стоянка Староселье и ее место в палеолите // Материалы и исследования по археологии СССР. М., 1958. № 71. 123 с.
- Чабай В.П.* Средний палеолит Крыма. Симферополь: Шлях, 2004а. 323 с.
- Чабай В.П.* Территориально-хронологические группы палеолитических памятников Восточной Европы // Археология и палеоэкология Евразии / Под ред. А.П. Деревянко. Новосибирск, 2004б. С. 192–200.
- Черныш А.П.* Ранний и средний палеолит Приднестровья // Труды комиссии по изучению четвертичного периода. М.: Наука, 1965. Вып. XXV. 136 с.
- Черныш А.П.* Многослойная палеолитическая стоянка Молодова I // Молодова I. Уникальное мустьерское поселение на Среднем Днестре / Под ред. Г.И. Горещко, И.К. Ивановой. М.: Наука, 1982. С. 6–102.
- Черныш А.П.* Эталонная многослойная стоянка Молодова V. Археология // Многослойная палеолитическая стоянка Молодова V. Люди каменного века и окружающая среда / Под ред. И.К. Ивановой, С.М. Цейтлина. М.: Наука, 1987. С. 7–93.
- Chabai V.P., Marks A. E., & K. Monigal.* Crimea in the Context of the Eastern European Middle Paleolithic and Early Upper Paleolithic // The Paleolithic of Crimea. The Middle Paleolithic and Early Upper Paleolithic of Eastern Crimea. Vol. 3. / Ed. by V. Chabai, K. Monigal, and A. Marks: Études et Recherches Archéologiques de L'Université de Liège. 2004. No 104. P. 419–460.
- Chabai V.P., Th. Uthmeier.* Settlement Systems in the Crimean Middle Palaeolithic // Kabazi II: the 70000 years since the Last Interglacial / Ed. by V. Chabai, J. Richter, Th. Uthmeier. Simferopol; Cologne: Shlyakh, 2006. P. 297–359. (Palaeolithic sites of Crimea. Vol. 2).
- Demidenko Yu.E.* The Late Middle Palaeolithic and Early Upper Palaeolithic of the Northeastern and Eastern edges of the Great Mediterranean (South of Eastern Europe and Levant): any archaeological similarities? // The Lower and Middle Palaeolithic in the Near East and Neighbouring Regions / Ed. by J.-M. Le Tensorer, R. Jahger and M. Otte: Études et Recherches Archéologiques de L'Université de Liège. 2011. No 126. P. 151–167.

ИСТОЧНИКИ

- Бонч-Осмоловский Г.А.* Полевой дневник археологических раскопок Крымской экспедицией палеолитической стоянки Шайтан-Коба (окрестности с. Бодрак, Симферопольского р-на). Начато: 27 июня 1929 г, кончено: 31 августа 1929 г., на 27 листах. Научный архив ИИМК РАН. Ф. 2. Оп. 1929. Ед. хр. 282.
- Бонч-Осмоловский Г.А.* Полевые чертежи по раскопкам палеолитической стоянки Шайтан-Коба (окрестности с. Бодрак, Симферопольского р-на). Начато: 1929 г, кончено: 1929 г., на 56 листах. Научный архив ИИМК РАН. Ф. 2. Оп. 1929. Ед. хр. 283.